

Innledning.

Denne rapport meddeler resultater av geofysiske undersøkelser i områder ved RØDALEN GRUBE og SLETMO GRUBE, utført i tiden 18.april - 22.august 1941, for A/S RØROS KOBBERVERK. De undersøkte områdene utstrekning og beliggenhet fremgår av oversiktskartene, nr. 1 og 6. Der blev anvendt elektromagnetiske målemetoder, delvis supplert med magnetiske målinger. Undersøkelsene blev utført ved Geofysisk Malmletings ingenier G.F. Sakshaug, med R. Ingdahl som assistent.

Rapporten innledes med en kort fremstilling av målingenes utførelse, hvorefter undersøkelsene i de to områder behandles hver for sig. Rapporten faller således i følgende avsnitt:

- I Målingenes utførelse.
- II Undersøkelser ved RØDALEN GRUBE.
- III Undersøkelser ved SLETMO GRUBE.
- IV Konklusjoner.

I. Målingenes utførelse.

Målemetoder.

De tidlige utførte elektriske undersøkelser i RØROSFELTENE har vist at de opptrædende malmer er godt ledende, og at betingelsene for anvendelse av elektriske malmleatingsmetoder er gunstige.

Ut fra det som er kjent om de opptrædende malmers form og egenskaper, og ut fra tidlige erfaringer, fant man det hensiktsmessig fortsatt overveiende å anvende elektromagnetisk konduktive målinger. I et enkelt område blev der foretatt elektromagnetisk induktive målinger.

Ved den elektromagnetisk konduktive metode tilføres undergrunnen $500 \sim$ vekselstrøm ved isolert rettlinjet kabel, forbundet med en generator, og jordet ved elektroder i begge ender. Ved den elektromagnetisk induktive metode skjer strømtilførselen til undergrunnen induktivt, idet primerstrømmen sendes gjennom en isolert rektanguler kabelslsife, utlagt ved siden av, eller omkring, undersøkelsesområdet. Ved begge disse metoder vil det elektromagnetiske felt fra strømmen i kabelen inducere sekundære strømmer i de ledende soner som måtte finnes i undergrunnen. Ved den elektromagnetisk konduktive metode vil der samtidig skje en viss koncentrasjon av primerstrømmen i sonene. Disse strømkoncentrasjoner og inducerete strømmer forandrer det normale elektromagnetiske feltspåkarakteristisk måte over de ledende soner. Ved å undersøke det elektromagnetiske felts forløp og påvise mulige avvikler fra normale forhold, kan man således fastlegge eventuelle ledende soners beliggenhet i undergrunnen.

Undersøkelsen av det elektromagnetiske felt gjøres fortrinnsvis langs rette målelinjer, loddrett på kabellinjen. Disse målelinjer bør samtidig gå noenlunde tvers på de ledende soner. Man vil derfor i allmindelighet legge kabellinjene parallelt strøksretningen, eller parallelt malmenes lengdeaks. Selve opmålingen av feltet gjøres overveiende ved relativmålinger, idet man bestemmer forholdet mellom feltvektorenes amplitude og deres faseforskjell fra punkt til punkt langs målelinjene.

Ved de her utførte målinger blev anvendt tre instrumenttyper: G.M's Vinkelbro for meget nøyaktig måling av den vertikale feltkomponentens relative styrke og fase, G.M's Komponentbro for samme målinger ved sterkere effekter, samt G.M's Komponentbro med Døbelramme for måling av reelle og imaginære feltkomponenter, både i vertikal og i horisontal retning. Disse instrumenter påvirkes ikke av klimatiske forhold. De har stor følsomhet og målhurtighet og tillater å foreta en fullstendig kartlegning av elektromagnetiske felters variasjoner innen et undersøkelsesområde.

Da der var grunn til å formode at opptrædende mineralisasjoner kunde være ledsgaget av magnetiske effekter, antok man at det ville være av interesse å gjøre forsøk med magnetiske målinger. Slike orienterende målinger blev foretatt på flere steder. Det magnetiske felts vertikalkomponent blev målt med Tibergs magnetometer.

Utdelingen av kabellinjer, målelinjer og målpunkter blev foretatt ved hjelp av kompass og målebånd. Til mere varig fastlegning av stikkningsnettet blev der i et egnat antall av dets hovedpunkter nedsatt som fastmerker kraftige treplugger med innskårne koordinater. Disse fastmerker er avmerket i kartene.

Arbeidsordning, arbeidets forlsp.

Arbeidet blev begynt 18.april og avsluttet 22. august. I RØDALSFELTET blev der arbeidet i tiden 18.april – 25.juni, ved SLETMO GRUBE i tiden 26.juni – 22.august.

I RØDALSFELTET blev der arbeidet med 2 målegrupper, idet man hadde et hjelpepersonskap på 12 mann. Arbeidastokkens fordeling var følgende: Til selve målingene 2 lag, på hver 3 medhjelgere og 1 observatør; til stikkning 1 lag på 3 mann; til motorpass og forefallende arbeide 1 mann; til beregningsarbeide 2 mann. I SLETMOFELTET blev der for det meste arbeidet med bare 1 målelag, idet stikkningsarbeidet måtte foretas med 2 lag, da det gikk langsomt i den tette løvskog.

Målingene forlsp gjennemgående tilfredsstillende, idet terrenget stort sett var gunstig og varforholdene bra. Snelheten voldte ingen nevneverdig forsinkelse. Dog blev noen kontroll- og sammenbindings-målinger nordøst for RØDAL-

skakten umuliggjort ved kabelbrudd på RØSJØEN i isløsningen. Endel forsinkelser ved målingene blev forårsaket ved vanskeligheter med å skaffe hjelpepersonell. Under den siste tid i SLETMOFELTET blev der arbeidet kun med vel halvt hjelpepersonell, da det ikke var mulig å få nye folk istedenfor de som sluttet.

Målehurtigheten tør under de foreliggende omstendigheter betegnes som tilfredsstillende. I RØDALSFELTET blev der målt 235 km profillengde. Det tilsvarer i gjennomsnitt ca. 4,1 km pr. arbeidsdag, idet den tid som medgikk til kabellegning, flytning, osv. medregnes. For målingene ved SLETMO GRUBE er de tilsvarende tall 145 km og 2,9 km pr. arbeidsdag. De samlede undersøkte områder utgjør 23 km^2 . Dette tilsvarer $5,6 \text{ km}^2$ pr.måned, eller $0,21 \text{ km}^2$ pr. arbeidsdag.

Anvisning av indikasjoner, etc.

Over de undersøkte områder er tegnet kartskisser (Kart nr. 1, 4 og 6) i målestokk 1:10.000. Over partier som viser indikasjoner er tegnet utsnitt (kart nr. 2, 3 og 7) i målestokk 1:2000, samt magnetometrisk kart (kart nr. 5) i målestokk 1:1000. I disse kartskisser er inntegnet de anvendte kabellinjer og måelinjer, samt orienterende topografiske data. Disse data refererer sig til vårt stikningsnett, idet de er skissert etter notater under målingene. De kan således tjene til å fastlegge stikningsnettets orientering i marken.

De observerte ledende soner er anvist i kartskissene med gradering av relativ styrke ved følgende tegn: — meget sterk, — — sterk, svak, !!!!! meget svak. De observerte soner er sammenstillet for de enkelte felter i tabell nr. 1 og 2. Foruten strømkensentrasjonenes beliggenhet, antydes også deres omtrentlige dybde, delvis med tallangivelse. Det understrekkes dog at disse dybdeangivelser meddeles med alt forbehold, da de ofte vil være usikre. Særlig når der optrer flere soner nær hverandre, eller grunne soner over dypere soner, tillater de elektriske metoder ofte ikke å foreta noen sikker dybdebemiddelse.

II. Undersøkelser ved RØDALEN GRUBE.

Tidligere undersøkelser.

Det kjennskap som man har til feltets geologiske forhold, hentrer fra grubedriften, samt fra geologiske undersøkelser i marken, utført ved professor Vogt. Innen dette område kjenner man hittil en malmforekomst av betydning, nemlig KONGENS GRUBES malm, som er utpreget stekk- eller linjalformet med hovedretning omtrent S-V og fall ca. $15 - 30^{\circ}$ mot syd. Malmens har sterk dragning i felt, så malmaksen ligger næsten horisontalt, kun med et fall på 8° mot vest. Iakttagelser fra grubedrift og boringer i forekomstens vestligste partier tyder på at forekomsten her er avskåret ved forkastninger, og at fallet går over til å være vestlig, slik at malmlinjalen vestover stuper brattere mot dypet. Man har ansett det for tenkbart at malmlinjalen ved forandringer i fallet, eventuelt ved forkastninger ovenfor, kunne nå op til overflaten igjen lengre vest. Dog foreligger der ingen sikre holdepunkter for denne antagelse. I området vest for RØSJØEN er ikke hittil iakttatt mineralisasjoner av betydning.

Opgaver.

Det var stillet som undersøksenes hovedoppgave å fastslå om KONGENS GRUBES malm kunde følges inn under RØSJØEN og videre vestover, eventuelt om den skulle nå op til dagoverflaten igjen lengre vest. Man skulle undersøke fortsettelsen vestover av de zoner som blev påvist ved målingene i 1939. Det skulle videre undersøkes om der kunde påvises andre mineralisasjoner av betydning. Det område som skulle måles, var anvist av oppdragsgiverens geologiske konsulent, professor dr. Th. Vogt.

Målingenes anlegg og utførelse.

Da det var antatt at en eventuell fortsettelse av KONGENS GRUBES malm vilde forløpe med nærmest uforandret retning, valgte man å orientere kabelanlegget for de elektromagnetiske målinger tilsnert parallelt med KONGENS GRUBES malmakse. Som utgangspunkt for stikningsnettet blev valgt det

nordsstre hjørne av skaptåpningen. Dette punkt blev gitt koordinatene 2500 V - 450 S. Gjennem dette punkt blev stukket en linje med retning m.V $8^{\circ}N$ (cent.gr.) Stikningsnettets basislinje (linje 0 S) forløper således 450 m nordenfor og parallelt med denne linje. Målelinjene som er stukket lodrett baselinjen, har retning m.N $8^{\circ}S$. Koordinattallene sker mot vest og mot syd og korresponderer med avstander i meter. Koordinatbetecknelsene fremgår forsvrig av kartene.

Anlegg 1. (Kart nr.1, 2) Underskelsene blev begynt med elektromagnetisk konduktive målinger med kabel strukket langs baselinjen. Mot øst var kabelen jordet på ca. 0 V - 0 S, i myr nord for KONGENS GRUBE. Mot vest var kabelen jordet på ca. 5050 V - 0 S, ved nordkant av ENGBEKKTJØNN.

Der blev foretatt målinger i en bredde av 800 m på sydsiden og 400 m på nordsiden av kabelen mellom profilene 2000 V og 4000 V. Øst for skakten blev målingene umuliggjort av tangbane og tekniske anlegg. Man fikk således ikke gjort noen brukbare målinger over selve RØDALEN GRUBE med de der gjenstående partier av hovedmalm. Vest for skakten blev der observert svake, men ganske tydelige indikasjoner på en strømkonsentrasjon i et dyp tilsvarende RØDALSGRUBENS malm. Det er således grunn til å anta at denne indikasjonen hitrører fra hovedmalmens. Denne svake styrke kan skyldes det store dyp: ca. 250 - 300 m. Denne indikasjon avtar i styrke vestover, og kan ikke med sikkerhet følges lenger enn til ca. 200 m vest for skakten. Der synes dog fortsatt å løpe en sterkere strømkonsentrasjon videre vestover, men uten at det her kan taltes om en tydelig indikasjon. Der kan således her enten foreligge meget dyptliggende, eller mere spredte mineralisasjoner. Målingene tillot ikke å avgjøre dette.

Nord for kabellinjen og delvis helt inntil denne blev der observert indikasjoner på spredte, gruntliggende mineralisasjoner. Deres strøkretning er noe vekslende, men stort sett V-NV.

Anlegg 2. (Kart nr.1, 2) Kabellens beliggenhet så nær de nevnte gruhø soner var uehdlig for målingene med hensyn på den dyptliggende hovedmalm. For bedre å klargjøre disse soner og deres innvirkning på målingene, blev kabelen vest for 2000 V parallel-førflyttet 400 m mot nord, idet de

samme elektroder fortsatt blev benyttet. Der blev foretatt målinger på sydsiden av denne kabellinje mellem 2200 V og 2750 V langs de samme profiler som under anlegg 1.

Disse målinger bekreftet de indikasjoner over hovedmalmens som var observert med anlegg 1. De gav imidlertid fremdeles ingen utgående klargjøring av de grunne, nordenfor liggende soner.

Anlegg 3. (Kart nr. 1, 2 og 4) Målingene ut fra anlegg 1 og 2 omfattet den nordlige del av RØSJØEN. Da også målingene over den gjenstående sydlige del av sjøen måtte foretas før isen gikk op, var man nødt til foreløbig å avbryte målingene i feltets nordlige del, og legge ut en kabellinje på 800 S, parallelt med anlegg 1. Østre elektrode blev satt på ca. 200 V – 650 S, i myr rett ovenfor KONGENS GRUBES barakker, vestre elektrode i myrhull på 5000 V – 800 S, senere på ca. 6000 V – 800 S. Ved måling til begge sider ut fra denne kabellinje fikk man målt de gjenstående partier av det projekterte undersøkelsesområdet. Mot nord blev der målt endel profiler over hovedmalmens fortsettelse vest for skakten, samt over de nordenfor liggende indikasjoner. Videre er der på nordsiden målt endel profiler over de nordenfor liggende indikasjoner. Videre er der på nordsiden målt mellom 1500 V og 2000 V inntil 400 N, og mellom 4000 V og 5300 V inntil 200 N. På sydsiden av denne kabellinje blev målt mellom 1500 V og 5300 V inntil ca. 1650 S. Øst for 1500 V er målt noen få profiler. Mellom 1500 V og 4000 V er profilavstanden 50 m, videre vestover 100 m.

Ved disse målinger blev der nord for gruben observert indikasjoner på svakt ledende soner med strøkretning ca. Ø–V. På sydsiden av denne kabellinje ble der observert indikasjoner på fortsettelsen av den sydlige zone i KRUSUBEKKALEN, som ble fastlagt ved målingene i 1939. Disse indikasjoner opphører på ca. 2700 V.

Anlegg 4. (Kart nr. 1, 2) For å opnå ytterligere klarlegging av de ledende soner nord for skakten, ble der lagt ut en kabelslsife for elektromagnetisk induktive målinger over dette området. Kabelslsifens sider lå langs linjene 400 N og 100 S og langs profilene 2000 V og 2700 V. Innenfor denne slsife ble der foretatt målinger med 25 m profilavstand mellom

2300 V og 2650 V. Der blev gjort målinger både av vertikal og av horisontal feltkomponent.

Resultatene av disse målingene stemte overens med det som var funnet ved de elektromagnetisk konduktive målinger, men gav en sikrere og mere detaljert klarleggelse av de vekslende mineralisasjoner som foreligger her.

Anlegg 5. (Kart nr. 1, 3) Da der innenfor det av professor Vogt anviste undersøkelsesfelt ikke kunde observeres indikasjoner på at RØDALS-malmen igjen kom op til dagoverflaten, blev målingene etter Verkets ønske fortsatt ca. 1,5 km videre vestover. Målingene blev foretatt ut fra kabel beliggende på linje 800 S (likesom anlegg 3), med østre elektrode jordet i vannrør i vaskebrakken på RØDALEN, og vestre elektrode anbragt i ca. 7800 V - 800 S. Der blev foretatt målinger langs alle hundreprofiler inntil 6800 V. På sydsiden av kabelen blev målingene utstrakt inntil 1700 S og på nordsiden inntil 200 N.

Heller ikke i dette området ble der observert effekter som kan tydes som indikasjoner på en fortsettelse av Rødals-malmen. I den vestlige del av området ble der observert indikasjoner på ledende soner med strøkretning ca. S-N. Indikasjonene er forholdsvis svake, og er ikke fulgt i noen større lengde. Muligens fortsetter sonene utenfor målefeltet.

Magnetiske målinger. (Kart nr. 5) Under utførelsen av de elektromagnetisk induktive målinger ved anlegg 4 ble man opmerksom på at der i dette området forelå magnetiske anomalier. For å undersøke dette blev der gjort målinger av den magnetiske vertikalkomponents styrke i den vestlige del av området. Målingene blev foretatt langs de samme profiler som de elektromagnetiske målingene. Der blev observert forholdsvis sterke magnetiske anomalier, som imidlertid viste sig å være meget vekslende. De danner således ingen tydelige sammenhengende soner, og faller ikke umiddelbart sammen med de elektriske indikasjoner. De her foretatte magnetiske målinger har således forelsbig ikke gitt resultater av positiv betydning. Muligens henger dette sammen med at profilavstanden burde vært mindre. Den knappe tid tillet imidlertid ikke å stikke nye målelinjer før de magnetiske målingene.

Der blev gjort orienterende forsøk med magnetiske målinger også over hovedmalmen, samt over den ledende zone i PRUSUBEKKDALEN. Der kunde det imidlertid ikke observeres effekter med det anvendte magnetometer.

Resultater.

Med hensyn på undersøkelsens hovedoppgave: å påvise den mulige videre fortsettelse vestover av KONGENS GRUBES malm, kan undersøkelsen ikke sies å ha gitt noe positivt resultat.

De svake indikasjoner som blev observert over en kort strekning vest for RØDALS-skakten, korresponderer med hovedmalmens dyp i dette området og blir således tilskrives denne. Disse indikasjoner avtar i styrke vestover, og opphører snart. I en avstand av ca. 175 m vest for gruben har der således ikke lenger kunnet observeres noen entydig og klar indikasjon på en definert strømkonsentrasjon i fortsettelse av hovedmalmen.

Der er således to muligheter: enten at malmen her opphører, eller at malmens dyp tiltar raskt vestover, slik at den her ikke lenger kan gi sikkert målbare indikasjoner. For denne siste mulighet taler i noen grad den omstendighet at målingene videre vestover kan tyde på at undergrunnen her fremdeles er noe sterkere strømførende. Denne strømføring kan imidlertid også tenkes å hitrøre fra spredte mineralisasjoner. På grunn av de store dyp tillater målingene ikke å avgjøre dette. Den nøyere utvurdering av målingene er også vanskelig gjort ved at de tekniske anlegg satt for gruben gjør det umulig å foreta orienterende målinger over de her gjenstående deler av hovedmalmen.

I partiene videre vestover blev der ikke observert indikasjoner på at en fortsettelse av hovedmalmen her på ny nærer opp til dagoverflaten. De indikasjoner som er observert vestligst i området, er forholdsvis svake, og av mindre utstrekning. Målingene bekrefter at de har fall mot vest i overensstemmelse med det som er kjent fra den geologiske undersøkelse.

Sammenfattende kan man således si følgende: Målingene har ikke gitt indikasjoner på en videre fortsettelse av KONGENS GRUBES malm, hverken i området umiddelbart ved RØDALEN GRUBE eller lenger vest. På den annen side tillater

målingene ikke å avvise den mulighet at malmen fortsetter på dypet vest for RØDALEN. Noen veiledning for eventuelle undersøkelser med hensyn på malmens fortsettelse i dette område kan målingene imidlertid neppe gi.

Målingene over den vestlige fortsettelsen av den ledende sone i PRUSUBEKKDALEN viser at denne sone strekker seg inntil ca. 2700 V. Hvorvidt mineralisasjonen her opphører ved at sonen er kilt ut, eller eventuelt ved at den er avskåret ved forkastning, tillater målingene ikke å avgjøre.

Denne sonens utstrekning og beliggenhet i forhold til KONGENS GRUBES malm, fremgår av kartskisse nr. 4, i hvilken resultatet av de tidligere målinger er medtatt. Man bemerket at den øndre parallelsonen både med hensyn på retning og utstrekning stemmer nært overens med hovedmalmen, en omstendighet som muligens kan være å tillegg betydning. Det reiser sig det spørsmål, som vel bør gransktes ut fra de geologiske forutsetninger, om også mineralisasjonene i hovedmalmens retning skulle være begrenset til denne lengdeutstrekning som er fastlagt for parallelsonen.

De mere spredte indikasjoner på ledende soner, som er observert utenfor de to hovedsoner, tyder ikke på mineralisasjoner av betydning.

III. Undersøkelser ved SLETMO GRUBE.

Tidligere undersøkelser.

Dette område er sterkt overdekket. De geologiske forhold er derfor ikke nsiere kjent. I feltet foreligger en gammel grube, SLETMO GRUBE, og et skjerp på FUSTBAKKEN. De her optredende mineralisasjoner viser strøkretning ca. N-NV, og har svakt fall mot vest.

Opgaver.

Det var stillet som oppgave å undersøke utstrekningen av de kjente mineralisasjoner, samt å utforske deres omgivelser med hensyn på mulige andre malmer. Det skulle videre undersøkes om der kunde foreligge noen sammenheng mellom de her kjente mineralisasjoner og en mulig fortsettelse østover

av KONGENS GRUBES malm. Også de mellemliggende områder frem til KONGENS GRUBE skalde undersøkes med hensyn på dette.

Målingenes anlegg og utførelse.

Arten av de kjente mineralisasjoner og deres beliggenhet nær elven var bestemmende for valget av målemetode og for måleanleggets orientering. For klarleggelse av mineralisasjonene i dette området ble det valgt å foreta elektromagnetisk konduktivitetsmålinger, i første omgang med kabellinjen noenlunde parallelt med mineralisasjonenes strøkretning.

Som utgangspunkt for stikningen tjente den nordlige av de to grubeåpningene (synkåpningen på SLETMO GRUBE). Et punkt beliggende 8 m vest for synkåpningen er gitt koordinatene 2500 N - 500 V. Basislinjen er således stukket 500 m øst for dette punkt, og den er gitt retning n.N-S. Stikningens netts koordinatall er valgt stigende mot nord og mot vest. De korresponderer med avstander i meter.

Anlegg 1. (Kart nr. 6) Av hensyn til elvens nærhet blev kabellinjen lagt på vestsiden av sonene, langs linje 1000 V med sørre elektrode på ca. 650 N, tilkoblet et vannrør på ORMHAUS går, og med nordre elektrode på ca. 5300 N i myr nær jernbanelinjen.

Der blev målt på begge sider av kabelen mellom profilene 1200 N og 4700 N. Mot vest er profilene målt ut til 2000 V. Mot øst er målingene ført frem til elven eller til innmark. I området øst for kabelen var målingene betydelig forstyrret av de strømmer som blev indusert i rikstelefon- og privattelefon-ledninger. Ledningene strekker seg gjennem hele målefeltet like ved siden av, eller over mineralisasjonszonene, både ved SLETMO GRUBE og ved PUSTBAKKEN.

Ved SLETMO GRUBE blev der observert svake indikasjoner og av liten utstrekning, som korresponderer med de kjente utgåender. På PUSTBAKKEN er indikasjonene ennu svakere. Målingene viser at der i området SLETMO - PUSTBAKKEN ikke foreligger sterke mineraliserte soner. Der er heller ikke observert indikasjoner på noen forbindelse mellom mineralisasjonene på de to steder. Nord - nordvest for SLETMO blev der observert indikasjoner på en svakt ledende zone med retning ca. nordvest - sydøst.

I området vest for kabelen mellom 1000 V og 2000 V blev der ikke observert indikasjoner på ledende soner av betydning.

Anlegg 2. (Kart nr.6) For å undersøke området videre vestover, ble kabelen lagt ut langs linje 2000 V. Søndre elektrode var anbragt på ca. 300 N, senere ved utvidelse av feltet på ca. 200 S. Nordre elektrode blev først satt i ca. 5300 N, derefter ved utvidelse av feltet nordover i ca. 6300 N. På vestsiden av kabelen blev der målt inntil 3000 V mellom profilene 300 N og 5900 N. På østsiden blev der målt inntil 1000 V mellom 800 N og 1200 N, samt et enkelt profil 4800 N.

I den sydlige del av feltet mellom 2000 V og 3000 V observerte man indikasjoner på to parallelle soner av 5-600 m lengde. Indikasjonene er relativt svake og hitrører fra grunnere mineralisasjoner. Strøksretningen er omtrent N-S.

Videre sydover er observert indikasjoner på noe dypereliggende og tildels sterkere ledende soner, som synes å fortsette ut av målefeltet. Sterkest er indikasjonene i partiet 1000 N - 600 N.

Også i andre deler av dette området er der indikasjoner på ledende soner, men de er av liten utstrekning eller sterkt vekslende, og tør neppe være av interesse.

Målingene blev ikke ført lenger mot syd enn til 300 N, da elven hindret kabellegning videre sydover. Av hensyn til de gjenstående undersøkelser angående den eventuelle fortsettelse av KONGENS GRUBES malm, kunde der heller ikke avses tid til mere målinger i dette parti.

Anlegg 3. (Kart nr.6) Hvis der i dette området skulde foreligge en fortsettelse av KONGENS GRUBES malm med noenlunde uforandret retning, vilde denne i det anvendte stikningsnett falle omtrent langs profil 3600 N. For å undersøke dette blev der foretatt elektromagnetisk konduktive målinger med kabelen lagt ut i retning Ø-V langs profil 3300 N, med elektroder nedsatt på ca. 750 V og 3400 V. Der blev foretatt målinger inntil ca. 4300 N langs linjene: 2800 V, 2750, 2500, 2450, 2200, 2150, 1900, 1850, 1600, 1550, 1300 og 1250 V. Ved disse målingene blev der ikke observert indikasjoner som tyder på tilstedeværelsen av noen mineralisasjon med øst-vest

gående retning. Samtige påviste indikasjoner på ledende soner har tydelig strøkretning N-S. Der har således ikke kunnet påvises noen indikasjon på en fortsettelse av KONGENS GRUBES malm i dette område.

Magnetiske målinger. Da der i berghallene på SLETMO og PUSTBAKKEN finnes magnetkis, antok man at det ville være av interesse å gjøre noen orienterende målinger med magnetometer over disse soner.

Ved målingene omkring PUSTBAKKEN skjerp blev der observert tildels sterke magnetiske effekter, men av liten utstrekning. Det magnetiske drag faller omtrent langs linjen 650 V, mellom 1550 N og 1650 N. Sterkest er effektene mellom 1575 N og 1625 N.

Ved slepsynkåpningen på SLETMO GRUBE ble observert en magnetisk indikasjon av meget liten utstrekning. Den begynner i nordkanten av slepsynkåpningen, men opphører allerede 25 m nord for den. Omkring den sydlige stollåpning ble der ikke observert magnetiske effekter.

De magnetiske målinger tyder på at der ved skjerpene på SLETMO og PUSTBAKKEN ikke foreligger sammenhengende mineralisasjoner av større utstrekning i strøkretningen. Dette bekrefter resultatene av de elektriske målinger.

Resultater.

De foretatte elektriske og magnetiske målinger har ikke vist indikasjoner på at der ved skjerpene på SLETMO og PUSTBAKKEN foreligger mineralisasjoner av betydning.

Der har ikke kunnet observeres indikasjoner på en fortsettelse av KONGENS GRUBE innen de her undersøkte områder.

De forsiktig observerte indikasjoner i undersøkelsesområdet er svake, og tør neppe anses å være av interesse, undtagen de utstrakte soner som er påvist i områdets sydvestlige del. Disse er forholdsvis sterkt ledende, og turde kanskje fortjene å undersøkes nøyere. På grunn av de forholdsvis store dyp vil vi imidlertid ikke foreløbig foreslå diamantboring før spørsmålet eventuelt er overveicht ut fra geologiske synsmåter.

IV. Konklusjoner.

Resultatene av de utførte undersøkelser må sies å være små, også om man legger vekt på betydningen av de negative resultater.

Som vi tidligere har fremholdt, tror vi at det ville være hensiktsmessig om såvidt utstrakte geofysiske undersøkelser samtidig blev sikkert nyttiggjort til å opnå en nøyaktig klargjøring av undergrunnens strukturforhold ved hjelp av egne supplende målinger for fastlegging av bergarts-grenser, osv.

Hvis dette skulle vise seg å være gjennemførlig, synes det vel tenkbart at man på grunnlag herav kunde gi bidrag til avgjørelsen av viktige praktiske problemer, således f.eks. spørsmålet om utstrekningen av malmdannelsen i KONGENS GRUBES zone.

Man vet ikke på forhånd hvor meget der i denne retning vil kunne utrettes ved geofysiske metoder under de her rådende forhold, men vi tror at det ville være riktig å foreta egne orienterende undersøkelser for å klargjøre dette. Vi er gjerne rede til å fremkomme med forslag til en slik undersøkelse.

Trondheim 22. desember 1941.

G. F. Sakshaug.

H. Brække.

Tabell I. Observerte indikasjoner ved RØDALEN GRUBE.

Profil	Stasjon	Styrke	Dybde	Profil	Stasjon	Styrke	Dybde
1100 V	1125 S	st.	ca. 70m	2000 V	166 N	m. sv.	gr.
1200 V	1074 S	st.	ca. 70m		29 S	m. sv.	gr.
1300 V	939 S	m. sv.	usikker(gr)		80 S	sv.	ca. 40m
	1040 S	m. st.	ca. 80m		275 S	m. sv.	gr.
1400 V	896 S	m. sv.	usikker(gr)		340 S	sv.	usikker(d)
	1032 S	m. st.	ca. 90m		380 S	m. sv.	gr.
1500 V	76 S	m. sv.			980 S	sv.	usikker
	200 S	m. sv.	usikker(d)		1070 S	m. st.	ca. 110m
	917 S	m. sv.	usikker(gr)	2050 V	195 N	m. sv.	gr.
	1038 S	m. st.	ca. 90m		34 S	m. sv.	gr.
1550 V	63 S	m. sv.	usikker(gr)		83 S	sv.	ca. 40m
	182 S	sv.	usikker(d)		210 S	m. sv.	gr.
1600 V	78 S	m. sv.	ca. 8m		290 S	m. sv.	gr.
	170 S	sv.	ca. 35m		334 S	m. sv.	gr.
	919 S	m. sv.	usikker(gr)		338 S	sv.	usikker(d)
	1038 S	m. st.	ca. 100m		380 S	m. sv.	usikker(gr)
1650 V	67 S	m. sv.	ca. 8m		676 S	m. sv.	gr.
	160 S	sv.	ca. 40m		712 S	m. sv.	gr.
	930 S	sv.	ca. 10m		980 S	sv.	gr.
	1043 S	m. st.	ca. 100m	2100 V	1090 S	m. st.	usikker(d)
1700 V	81 S	m. sv.	ca. 7m		220 N	m. sv.	gr.
	152 S	sv.	ca. 40m		43 S	m. sv.	gr.
	390 S	sv.	ca. 45m		95 S	sv.	ca. 40m
	940 S	m. sv.	usikker(gr)		210 S	m. sv.	gr.
	1040 S	m. st.	ca. 110m		300 S	sv.	usikker(gr)
1750 V	79 S	m. sv.	ca. 8m		336 S	m. sv.	gr.
	130 S	sv.	ca. 45m		336 S	sv.	usikker(d)
	918 S	sv.	usikker(gr)		380 S	sv.	usikker(gr)
	1040 S	m. st.	ca. 110m		682 S	m. sv.	gr.
1800 V	66 S	m. sv.	usikker(gr)		722 S	m. sv.	gr.
	106 S	sv.	usikker(d)		980 S	sv.	usikker(gr)
	370 S	sv.	usikker(d)	2150 V	1120 S	m. st.	ca. 120m
	660 S	m. sv.	gr.		243 N	m. sv.	gr.
	942 S	sv.	usikker(gr)		62 S	m. sv.	gr.
	988 S	sv.	usikker(gr)		110 S	sv.	ca. 40m
	1040 S	m. st.	ca. 110m		210 S	m. sv.	gr.
1850 V	56 S	m. sv.	usikker(gr)		307 S	sv.	usikker(gr)
	86 S	sv.	usikker(d)		335 S	sv.	usikker(gr)
	954 S	sv.	usikker(gr)		390 S	sv.	usikker(gr)
	997 S	sv.	usikker (gr)		440 S	m. sv.	usikker(gr)
	1040 S	m. st.	ca. 110m		960 S	sv.	usikker(gr)
1900 V	40 S	m. sv.	usikker(gr)	2200 V	1140 S	st.	ca. 130m
	80 S	sv.	usikker(d)		275 N	m. sv.	gr.
	355 S	sv.	ca. 50m		46 S	m. sv.	gr.
	966 S	sv.	usikker(gr)		128 S	sv.	usikker(d)
	1040 S	m. st.	ca. 120m		212 S	m. sv.	gr.
1950 V	35 S	m. sv.	gr.		336 S	sv.	ca. 15m
	78 S	sv.	ca. 45m		385 S	sv.	ca. 12m
	614 S	m. sv.	gr.		450 S	m. sv.	usikker(gr)
	668 S	m. sv.	gr.		704 S	sv.	gr.
	854 S	m. sv.	gr.		964 S	m. sv.	usikker(gr)
	883 S	m. sv.	gr.		1045 S	sv.	usikker
	972 S	sv.	usikker(gr)		1160 S	st.	ca. 150m
	1057 S	m. st.	ca. 110m				

Tabell I. Forts.

Profil	Stasjon	Styrke	Dybde	Profil	Stasjon	Styrke	Dybde
2250 V	298 N	m. sv.	gr.	2475 V	266 N	sv.	usikker(gr)
	6 N	m. sv.	gr.		63 N	sv.	usikker(gr)
	23 S	sv.	usikker(gr)	2500 V	315 N	m. sv.	gr.
	58 S	sv.	usikker(gr)		284 N	m. sv.	gr.
	338 S	sv.	gr.		190 N	m. sv.	gr.
	387 S	sv.	gr.		162 N	m. sv.	gr.
	740 S	sv.	ca. 10m		137 N	m. sv.	gr.
	790 S	sv.	ca. 11m		87 N	st.	10m
	862 S	m. sv.	gr.		0 N	sv.	usikker
	964 S	sv.	usikker		135 S	sv.	ca. 80m
	1050 S	sv.	usikker		1190 S	st.	ca. 150m
	1170 S	st.	ca. 150m	2525 V	6 N	st.	ca. 19m
2300 V	326 N	m. sv.	gr.	2550 V	370 N	sv.	usikker(gr)
	98 N	sv.	usikker(gr)		347 N	m. sv.	usikker(gr)
	54 S	m. sv.	gr.		200 N	m. sv.	gr.
	104 S	sv.	usikker(gr)		180 N	m. sv.	gr.
	143 S	sv.	usikker(gr)		160 N	m. sv.	gr.
	300 S	sv.	ca. 15m		120 N	st.	ca. 16m
	343 S	sv.	usikker(gr)		76 N	m. sv.	gr.
	740 S	m. sv.	gr.		30 N	m. sv.	gr.
2325 V	116 N	sv.	usikker(gr)		130 S	sv.	ca. 80m
2350 V	348 N	m. sv.	gr.		450 S	sv.	ca. 250m
	131 N	sv.	ca. 11m		487 S	m. sv.	gr.
	4 S	m. sv.	usikker(gr)		640 S	m. sv.	gr.
	40 S	m. sv.	usikker(gr)		715 S	m. sv.	gr.
	70 S	m. sv.	usikker(gr)		886 S	m. sv.	gr.
	95 S	m. sv.	usikker(gr)		944 S	m. sv.	gr.
	604 S	m. sv.	gr.	2575 V	135 N	st.	ca. 150m
	675 S	m. sv.	usikker(gr)		34 N	st.	16m
	760 S	m. sv.	gr.		450 S	m. sv.	gr.
2375 V	1182 S	st.	usikker(d)	2600 V	215 N	sv.	ca. 250m
2400 V	142 N	sv.	ca. 8m		176 N	m. sv.	usikker(gr)
	371 N	m. sv.	gr.		148 N	sv.	gr.
	149 N	m. sv.	gr.		102 N	m. sv.	usikker(gr)
	6 N	m. sv.	gr.		53 N	sv.	gr.
	30 S	sv.	ca. 15m		142 S	sv.	ca. 80m
	150 S	sv.	usikker(d)		450 S	sv.	ca. 250m
	688 S	m. sv.	gr.		1200 S	st.	ca. 150m
	1050 S	m. sv.	usikker	2625 V	156 N	m. sv.	gr.
2425 V	230 N	sv.	8m		450 S	sv.	ca. 250m
	258 N	m. sv.	usikker(gr)	2650 V	208 N	sv.	15m
	16 N	sv.	usikker(gr)		185 N	m. sv.	gr.
2450 V	324 N	m. sv.	usikker(gr)		150 S	sv.	usikker(d)
	245 N	sv.	10m		450 S	sv.	ca. 250m
	180 N	m. sv.	gr.	2675 V	450 S	st.	usikker(d)
	138 N	m. sv.	gr.		348 N	st.	ca. 250m
	34 N	sv.	ca. 11m	2700 V	276 N	m. sv.	gr.
	16 S	sv.	usikker(gr)		225 N	sv.	gr.
	68 S	m. sv.	gr.		124 N	m. sv.	15m
	140 S	sv.	usikker(d)		1225 S	st.	gr.
	614 S	m. sv.	gr.				usikker(d)
	662 S	m. sv.	gr.				
	738 S	m. sv.	gr.				
	1187 S	st.	ca. 150m				

Tabell I. Forts.

Profil	Stasjon	Styrke	Dybde	Profil	Stasjon	Styrke	Dybde
2750 V	350 N	sv.	12m	3550 V	640 S	m.sv.	gr.
	240 N	sv.	usikker(gr)		1066 S	m.sv.	gr.
	128 N	m.sv.	gr.		1325 S	m.sv.	gr.
	1240 N	st.	usikker(d)		1382 S	m.sv.	gr.
2800 V	370 N	sv.	12m	3600 V	1053 S	m.sv.	gr.
	255 N	sv.	20m		1285 S	m.sv.	gr.
	140 N	m.sv.	gr.		1382 S	m.sv.	gr.
2850 V	275 N	sv.	15m		1533 S	m.sv.	gr.
	165 N	m.sv.	gr.		1590 S	m.sv.	gr.
2900 V	290 N	sv.	usikker(gr)	3650 V	1640 S	m.sv.	gr.
	267 N	sv.	usikker(gr)		1317 S	m.sv.	gr.
	198 N	m.sv.	gr.		1470 S	m.sv.	gr.
	1398 S	m.sv.	gr.		1512 S	m.sv.	gr.
	1494 S	m.sv.	gr.		1614 S	m.sv.	ca. 15m
2950 V	312 N	m.sv.	gr.	3700 V	1320 S	m.sv.	gr.
	284 N	m.sv.	gr.		1414 S	m.sv.	gr.
	178 N	m.sv.	gr.		1505 S	m.sv.	gr.
	1490 N	m.sv.	gr.		1550 S	m.sv.	gr.
3000 V	335 N	m.sv.	gr.		1597 S	m.sv.	gr.
	177 N	m.sv.	usikker(gr)	3750 V	1318 S	m.sv.	usikker(gr)
	1416 N	m.sv.	gr.		1550 S	m.sv.	ca. 18m
3050 V	1486 N	m.sv.	gr.	3800 V	1488 S	m.sv.	usikker(gr)
	346 N	m.sv.	gr.		1552 S	m.sv.	usikker(gr)
	234 N	m.sv.	gr.	3850 V	1374 S	m.sv.	gr.
	168 N	m.sv.	gr.		1450 S	m.sv.	ca. 15m
	1430 N	m.sv.	gr.	3900 V	186 S	m.sv.	gr.
3100 V	364 N	m.sv.	gr.		412 S	m.sv.	gr.
	254 N	m.sv.	gr.		1366 S	m.sv.	ca. 15m
	186 N	m.sv.	gr.		1470 S	m.sv.	usikker(gr)
	1405 N	m.sv.	gr.		1570 S	m.sv.	usikker(gr)
	1470 N	m.sv.	gr.	3950 V	214 S	m.sv.	gr.
3150 V	278 N	m.sv.	gr.		1290 S	m.sv.	ca. 12m
	1463 N	m.sv.	gr.		238 S	m.sv.	gr.
3200 V	306 N	m.sv.	gr.	4000 V			
	220 N	m.sv.	gr.	4100 V			
	1322 N	m.sv.	gr.	4200 V			
	1414 N	m.sv.	gr.	4300 V			
	1478 N	m.sv.	gr.	4400 V			
(3250 V	306 N	m.sv.	gr.	4500 V			
	220 N	m.sv.	gr.	4600 V			
	1322 N	m.sv.	gr.	4700 V	1677 S	m.sv.	gr.
	1414 N	m.sv.)	4800 V	1035 S	m.sv.	gr.
3250 V	334 N	m.sv.	gr.	4900 V	1430 S	m.sv.	gr.
	517 S	m.sv.	gr.		1668 S	m.sv.	gr.
3300 V	364 N	m.sv.	gr.		225 S	m.sv.	gr.
	63 N	m.sv.	gr.		1090 S	m.sv.	gr.
	917 N	m.sv.	gr.	5000 V	1347 S	m.sv.	gr.
	1519 N	m.sv.	gr.		342 S	m.sv.	gr.
3350 V	340 N	m.sv.	gr.		1030 S	m.sv.	gr.
	90 N	m.sv.	gr.		1227 S	m.sv.	gr.
	1505 N	m.sv.	gr.		1280 S	m.sv.	gr.
3400 V	355 N	m.sv.	gr.		1410 S	m.sv.	gr.
	119 N	m.sv.	gr.		1512 S	m.sv.	ca. 15m
					1668 S	m.sv.	gr.

Tabell I. Forts.

Profil	Stasjon	Styrke	Dybde	Profil	Stasjon	Styrke	Dybde
5100 V	1257 S	m. sv.	gr.	1225 S	6342 V	m. sv.	usikker(d)
	1325 S	m. sv.	usikker(gr)		6297 V	sv.	ca. 50m
	1430 S	m. sv.	gr.		6268 V	st.	36m
	1480 S	m. sv.	gr.		6260 V	st.	30m
	1610 S	m. sv.	gr.		6252 V	st.	25m
	35 N	m. sv.	gr.		6223 V	st.	usikker(ca. 10
5200 V	1236 S	m. sv.	gr.		6248 V	st.	usikker(d)
	1278 S	m. sv.	gr.		6227 V	st.	10m
	1340 S	m. sv.	ca. 18m		6283 V	m. sv.	gr.
	1408 S	m. sv.	gr.		6234 V	sv.	ca. 10m
	1560 S	m. sv.	gr.		6283 V	m. sv.	gr.
	1264 S	m. sv.	gr.		6250 V	sv.	10m
5300 V	1546 S	m. sv.	gr.	1550 S	6244 V	m. sv.	5m
	1387 S	m. sv.	gr.		6275 V	m. sv.	ca. 10m
	1322 S	m. sv.	gr.		6325 V	sv.	usikker(gr)
	1450 S	m. sv.	gr.		6328 V	sv.	17m
	28 N	m. sv.	gr.		6336 V	sv.	usikker(gr)
	70 S	m. sv.	gr.		953 S	m. sv.	gr.
5400 V	1024 S	m. sv.	gr.	6500 V	1078 S	m. sv.	usikker(d)
	1248 S	m. sv.	gr.		158 S	sv.	ca. 15m
	1324 S	m. sv.	gr.		14 S	m. sv.	gr.
	1524 S	m. sv.	gr.		133 S	m. sv.	gr.
	1150 S	m. sv.	gr.		478 S	m. sv.	gr.
	472 S	m. sv.	gr.		138 N	m. sv.	gr.

Tabell II. Observerte indikasjoner ved SLETMO GRUBE.

Profil	Stasjon	Styrke	Dybde	Profil	Stasjon	Styrke	Dybde
300 N	2385 V	sv.	usikker(gr)	750 N	2250 V	m. sv.	usikker(gr)
	2420 V	sv.	usikker(d)		2310 V	m. sv.	usikker(gr)
	2594 V	m. sv.	gr.		2378 V	m. sv.	gr.
	2755 V	m. sv.	gr.		2437 V	sv.	ca. 15m
	2110 V	m. sv.	gr.		2266 V	m. sv.	usikker(gr)
	2200 V	m. sv.	gr.		2325 V	m. sv.	usikker(gr)
400 N	2290 V	m. sv.	usikker(gr)	800 N	2386 V	m. sv.	usikker(gr)
	2340 V	m. sv.	usikker(gr)		2410 V	st.	usikker(d)
	2360 V	st.	ca. 80m		2438 V	st.	ca. 20m
	2390 V	sv.	usikker(ca 7m)		2580 V	m. sv.	gr.
	2428 V	sv.	usikker(d)		2713 V	m. sv.	gr.
	2590 V	m. sv.	gr.		2975 V	m. sv.	gr.
450 N	2638 V	sv.	ca. 17m	850 N	2348 V	m. sv.	usikker(gr)
	2846 V	m. sv.	usikker(gr)		2448 V	st.	gr.
	2114 V	m. sv.	gr.		2650 V	m. sv.	usikker(gr)
	2289 V	m. sv.	usikker(gr)		2200 V	sv.	usikker(gr)
	2360 V	m. sv.	usikker(gr)		2305 V	m. sv.	usikker(gr)
	2390 V	sv.	usikker(gr)		2356 V	m. sv.	usikker(gr)
500 N	2438 V	m. sv.	usikker(gr)	900 N	2431 V	st.	ca. 150m
	2674 V	m. sv.	gr.		2450 V	st.	usikker(gr)
	2136 V	m. sv.	gr.		2312 V	m. sv.	usikker(gr)
	2223 V	m. sv.	usikker(gr)		2430 V	sv.	usikker(gr)
	2290 V	m. sv.	usikker(gr)		2485 V	sv.	usikker(gr)
	2370 V	st.	usikker(d)		2675 V	m. sv.	ca. 10m
550 N	2392 V	sv.	usikker(gr)	950 N	2873 V	m. sv.	gr.
	2443 V	m. sv.	usikker(gr)		2960 V	m. sv.	gr.
	2510 V	m. sv.	gr.		2188 V	m. sv.	gr.
	2685 V	m. sv.	gr.		2380 V	sv.	usikker(gr)
	2843 V	m. sv.	usikker(gr)		2440 V	st.	ca. 200m
	2962 V	m. sv.	gr.		2490 V	sv.	usikker(gr)
600 N	2137 V	m. sv.	gr.	1000 N	2560 V	sv.	usikker(gr)
	2236 V	m. sv.	usikker(gr)		2680 V	sv.	usikker(ca 30m)
	2293 V	m. sv.	usikker(gr)		2914 V	m. sv.	gr.
	2400 V	sv.	usikker(gr)		2386 V	sv.	usikker(gr)
	2445 V	m. sv.	usikker(gr)		2440 V	m. st.	ca. 200m
	2854 V	m. sv.	gr.		2472 V	sv.	usikker(gr)
650 N	2237 V	m. sv.	usikker(gr)		2557 V	m. sv.	usikker(gr)
	2300 V	sv.	ca. 18m		2714 V	m. sv.	gr.
	2383 V	st.	usikker(d)		2838 V	m. sv.	gr.
	2412 V	sv.	ca. 12m		2935 V	m. sv.	gr.
	2711 V	m. sv.	gr.		1090 V	m. sv.	gr.
	2760 V	m. sv.	gr.		1438 V	m. sv.	ca. 11m
700 N	2187 V	m. sv.	gr.		1482 V	sv.	usikker(gr)
	2240 V	m. sv.	usikker		1618 V	m. sv.	gr.
	2303 V	m. sv.	ca. 18m		1680 V	m. sv.	gr.
	2420 V	sv.	ca. 13m		1760 V	m. sv.	gr.
	2810 V	m. sv.	gr.		1832 V	m. sv.	gr.
	2245 V	sv.	ca. 18m		2058 V	m. sv.	gr.
	2308 V	sv.	ca. 18m		2122 V	m. sv.	gr.
	2370 V	m. sv.	gr.		2215 V	m. sv.	usikker(gr)
	2400 V	st.	usikker(d)		2304 V	m. sv.	gr.
	2427 V	sv.	ca. 13m		2362 V	m. sv.	gr.
	2614 V	m. sv.	gr.		2409 V	m. sv.	usikker(gr)
	2677 V	m. sv.	gr.		2450 V	st.	ca. 200m
	2858 V	m. sv.	gr.		2476 V	sv.	usikker(gr)
	2908 V	m. sv.	gr.		2586 V	m. sv.	gr.
					2676 V	m. sv.	gr.

Tabell II. Forts.

Profil	Stasjon	Styrke	Dybde	Profil	Stasjon	Styrke	Dybde
1100 N	2840 V	m. sv.	gr.	1350 N	1470 V	m. sv.	gr.
	2890 V	m. sv.	gr.		1560 V	m. sv.	ca. 12m
	2938 V	m. sv.	gr.		1800 V	a. sv.	usikker(gr)
1150 N	2369 V	m. sv.	gr.	1400 N	1880 V	m. sv.	gr.
	2412 V	m. sv.	usikker(gr)		2290 V	m. sv.	gr.
	2475 V	m. st.	ca. 25m		2338 V	m. sv.	gr.
	2480 V	sv.	usikker(gr)		2387 V	sv.	gr.
	2894 V	m. sv.	gr.		2462 V	m. sv.	usikker(gr)
1200 N	1258 V	m. sv.	gr.	1450 N	2518 V	m. sv.	gr.
	1360 V	m. sv.	gr.		636 V	m. sv.	gr.
	1516 V	sv.	ca. 15m		1427 V	m. sv.	gr.
	1877 V	m. sv.	gr.		1546 V	m. sv.	gr.
	2267 V	m. sv.	gr.		1807 V	m. sv.	gr.
	2340 V	m. sv.	usikker(ca. 25m)		1963 V	m. sv.	gr.
	2420 V	sv.	usikker(gr)		2242 V	m. sv.	ca. 8m
	2460 V	st.	ca. 250m		2387 V	m. sv.	usikker(gr)
	2480 V	sv.	usikker(gr)		2460 V	m. sv.	usikker(gr)
	2575 V	m. sv.	usikker(gr)		2470 V	st.	
1250 N	2625 V	m. sv.	usikker(gr)	1475 N	2575 V	m. sv.	gr.
	2728 V	m. sv.	usikker(gr)		2586 V	m. sv.	gr.
	2786 V	m. sv.	gr.		2720 V	m. sv.	gr.
	2896 V	m. sv.	gr.		2801 V	m. sv.	gr.
	2963 V	m. sv.	gr.		2865 V	m. sv.	gr.
	1466 V	sv.	ca. 15m		2933 V	m. sv.	gr.
	1553 V	sv.	ca. 15m		606 V	sv.	ca. 8m
	1675 V	m. sv.	gr.		644 V	sv.	ca. 5m
	1880 V	m. sv.	gr.		1553 V	m. sv.	usikker(gr)
	2343 V	m. sv.	gr.		1712 V	m. sv.	gr.
1300 N	2380 V	m. sv.	gr.	1500 N	1816 V	m. sv.	gr.
	2480 V	sv.	usikker(gr)		1963 V	m. sv.	gr.
	2500 V	m. st.	ca. 250m		600 V	sv.	ca. 7m
	2587 V	m. sv.	gr.		646 V	m. sv.	ca. 5m
	2640 V	m. sv.	gr.		676 V	sv.	ca. 5m
	2737 V	m. sv.	gr.		594 V	m. sv.	usikker(gr)
	2780 V	m. sv.	gr.		632 V	m. sv.	usikker(gr)
	2830 V	m. sv.	gr.		654 V	sv.	usikker(gr)
	2893 V	m. sv.	gr.		825 V	m. sv.	usikker(gr)
	2964 V	m. sv.	gr.		1230 V	m. sv.	gr.
	636 V	m. sv.	gr.		1486 V	m. sv.	gr.
	1536 V	m. sv.	usikker(gr)		1565 V	m. sv.	gr.
	1600 V	m. sv.	usikker(gr)		1614 V	m. sv.	gr.
	1762 V	m. sv.	ca. 8m		1662 V	m. sv.	gr.
	1832 V	m. sv.	usikker(gr)		1716 V	m. sv.	gr.
	1885 V	m. sv.	usikker(gr)		1890 V	m. sv.	gr.
	2290 V	m. sv.	gr.		2160 V	m. sv.	gr.
	2378 V	sv.	usikker(ca 20m)		2208 V	m. sv.	gr.
	2470 V	st.	ca. 250m		2290 V	m. sv.	ca. 8m
	2515 V	m. st.	ca. 250m		2388 V	sv.	usikker(d)
	2540 V	sv.	14m		2478 V	m. sv.	usikker(gr)
	2714 V	m. sv.	usikker(gr)		2470 V	st.	ca. 300m
	2774 V	m. sv.	usikker(gr)		2550 V	m. st.	ca. 330m
	2832 V	m. sv.	gr.		2714 V	sv.	usikker(d)
	2887 V	m. sv.	usikker(gr)		2790 V	m. sv.	usikker(gr)
	2960 V	m. sv.	gr.		2862 V	m. sv.	ca. 12m
					2938 V	m. sv.	usikker(d)

Tabell II. Forts.

Profil	Stasjon	Styrke	Dybde	Profil	Stasjon	Styrke	Dybde
1525 N	641 V	m. sv.	ca. 5m	1800 N	1140 V	m. sv.	gr.
	657 V	sv.	ca. 7m		1254 V	m. sv.	gr.
1550 N	648 V	m. sv.	ca. 5m	1850 N	2328 V	m. sv.	usikker(gr)
	662 V	m. sv.	usikker(gr)		2378 V	m. sv.	usikker(gr)
1575 N	1581 V	m. sv.	gr.	1900 V	2485 V	m. sv.	gr.
	1670 V	m. sv.	gr.		2536 V	m. sv.	gr.
1600 N	1831 V	m. sv.	gr.	1950 N	2657 V	m. sv.	gr.
	2336 V	m. sv.	usikker(gr)		2750 V	m. sv.	gr.
1650 N	2390 V	m. sv.	ca. 10m	2000 N	2325 V	m. sv.	usikker(gr)
	2440 V	m. sv.	ca. 12m		2377 V	m. sv.	usikker(gr)
1700 N	649 V	m. sv.	usikker(gr)	2050 N	2650 V	m. sv.	gr.
	650 V	m. sv.	usikker(gr)		266 V	m. sv.	gr.
1700 N	1590 V	m. sv.	usikker(gr)	2100 N	319 V	m. sv.	gr.
	1700 V	m. sv.	usikker(d)		362 V	m. sv.	gr.
1700 N	1874 V	m. sv.	gr.		430 V	m. sv.	ca. 15m
	2339 V	sv.	ca. 8m	2150 N	486 V	m. sv.	gr.
1700 N	2390 V	m. sv.	usikker(gr)		624 V	m. sv.	gr.
	2430 V	m. sv.	usikker(gr)		690 V	m. sv.	gr.
1700 N	2470 V	st.	ca. 300m		740 V	m. sv.	gr.
	2555 V	m. sv.	ca. 10m	2200 N	789 V	m. sv.	gr.
1700 N	2727 V	m. sv.	usikker(gr)		865 V	m. sv.	gr.
	2790 V	m. sv.	usikker(gr)		900 V	m. sv.	gr.
1700 N	2863 V	m. sv.	gr.	2250 N	2186 V	m. sv.	gr.
	2934 V	m. sv.	gr.		2323 V	sv.	ca. 12m
1700 N	2340 V	sv.	ca. 9m		2377 V	sv.	usikker(gr)
	2385 V	m. sv.	usikker(gr)	2300 N	2433 V	m. sv.	usikker(gr)
1700 N	2432 V	m. sv.	usikker(gr)		2488 V	m. sv.	usikker(gr)
	2740 V	m. sv.	usikker(d)		2752 V	m. sv.	usikker(gr)
1700 N	2862 V	m. sv.	usikker(gr)	2350 N	2814 V	m. sv.	gr.
	2914 V	m. sv.	gr.		2938 V	m. sv.	gr.
1700 N	843 V	m. sv.	gr.	2400 N	2317 V	m. sv.	ca. 12m
	887 V	m. sv.	gr.		2438 V	m. sv.	gr.
1700 N	1262 V	m. sv.	gr.		2486 V	m. sv.	gr.
	1605 V	m. sv.	usikker(gr)	2450 N	412 V	m. sv.	gr.
1700 N	1740 V	m. sv.	usikker(gr)		914 V	m. sv.	gr.
	2112 V	m. sv.	gr.		1750 V	m. sv.	gr.
1700 N	2165 V	m. sv.	gr.	2500 N	2106 V	m. sv.	gr.
	2237 V	m. sv.	gr.		2158 V	m. sv.	gr.
1700 N	2333 V	sv.	ca. 8m		2308 V	sv.	ca. 11m
	2382 V	m. sv.	usikker(gr)		2350 V	m. sv.	ca. 9m
1700 N	2417 V	m. sv.	usikker(gr)		2445 V	sv.	ca. 12m
	2514 V	m. sv.	gr.	2550 N	2833 V	m. sv.	gr.
1700 N	2562 V	m. sv.	gr.		2306 V	m. sv.	gr.
	2628 V	m. sv.	gr.		2355 V	sv.	ca. 15m
1700 N	2690 V	m. sv.	gr.		2457 V	sv.	ca. 15m
	2733 V	m. sv.	ca. 10m	2600 N	294 V	m. sv.	gr.
1700 N	2788 V	m. sv.	gr.		364 V	m. sv.	gr.
	2884 V	m. sv.	gr.		1585 V	m. sv.	gr.
1700 N	2932 V	m. sv.	gr.		1715 V	m. sv.	gr.
	838 V	m. sv.	gr.		2126 V	m. sv.	ca. 10m
1700 N	886 V	m. sv.	gr.		2308 V	m. sv.	usikker(gr)
	2329 V	m. sv.	usikker(gr)		2360 V	sv.	ca. 15m
1700 N	2381 V	m. sv.	usikker(gr)		2465 V	m. sv.	ca. 18m
	2725 V	m. sv.	usikker(gr)		2748 V	m. sv.	gr.
1700 N	2912 V	m. sv.	gr.		2820 V	m. sv.	gr.
					2951 V	m. sv.	gr.

Tabell II. Forts.

Profil	Stasjon	Styrke	Dybde	Profil	Stasjon	Styrke	Dybde
2150 N	2258 V	m. sv.	gr.	3150 N	652 V	m. sv.	gr.
	2312 V	m. sv.	ca. 11m		694 V	m. sv.	gr.
	2363 V	sv.	ca. 17m		1199 V	m. sv.	gr.
	2480 V	m. sv.	gr.		1330 V	m. sv.	usikker(gr)
	582 V	m. sv.	gr.		1382 V	m. sv.	usikker(gr)
	760 V	m. sv.	gr.		2716 V	m. sv.	gr.
2200 N	2262 V	m. sv.	gr.		2799 V	m. sv.	gr.
	2319 V	m. sv.	usikker(gr)		2918 V	m. sv.	gr.
	2369 V	m. sv.	usikker(gr)		3250 N	708 V	gr.
	2784 V	m. sv.	gr.		3300 N	722 V	usikker(gr)
	2910 V	m. sv.	gr.		777 V	m. sv.	usikker(gr)
	2964 V	m. sv.	gr.		2562 V	m. sv.	gr.
2250 N	2330 V	m. sv.	gr.		2662 V	m. sv.	gr.
	2410 V	m. sv.	gr.		2789 V	m. sv.	gr.
	2517 V	m. sv.	gr.		2918 V	m. sv.	gr.
	530 V	m. sv.	gr.		3350 N	690 V	gr.
	687 V	m. sv.	gr.		740 V	m. sv.	gr.
	910 V	m. sv.	gr.		3400 N	685 V	gr.
2300 N	1563 V	m. sv.	gr.		1964 V	m. sv.	gr.
	1835 V	m. sv.	gr.		3500 N	710 V	gr.
	2384 V	m. sv.	gr.		786 V	m. sv.	gr.
	2423 V	m. sv.	gr.		932 V	m. sv.	gr.
	2540 V	m. sv.	gr.		1834 V	m. sv.	gr.
	2616 V	m. sv.	gr.		1885 V	m. sv.	gr.
2350 N	2842 V	m. sv.	gr.		1947 V	m. sv.	gr.
	2916 V	m. sv.	gr.		3550 N	1817 V	gr.
	2970 V	m. sv.	gr.		1866 V	m. sv.	gr.
	2375 V	m. sv.	gr.		1954 V	m. sv.	gr.
	2566 V	m. sv.	gr.		3600 N	1662 V	gr.
	2660 V	m. sv.	gr.		1800 V	m. sv.	usikker(gr)
2400 N	2714 V	m. sv.	gr.		1847 V	m. sv.	usikker(gr)
	2940 V	m. sv.	gr.		1920 V	m. sv.	gr.
	913 V	m. sv.	gr.		3650 N	1805 V	usikker(gr)
	1530 V	m. sv.	gr.		1856 V	m. sv.	usikker(gr)
	1786 V	m. sv.	gr.		3700 N	1747 V	usikker(gr)
	1870 V	m. sv.	gr.		1813 V	m. sv.	usikker(gr)
2450 N	2263 V	m. sv.	gr.		1914 V	m. sv.	gr.
	2811 V	m. sv.	gr.		1962 V	m. sv.	gr.
	1510 V	m. sv.	gr.		1765 V	m. sv.	usikker(gr)
	1565 V	m. sv.	gr.		1820 V	m. sv.	usikker(gr)
	1863 V	m. sv.	gr.		1900 V	m. sv.	gr.
	1482 V	m. sv.	gr.		1955 V	m. sv.	gr.
2500 N	575 V	m. sv.	gr.		1750 V	m. sv.	usikker(ca20)
	660 V	m. sv.	gr.		1834 V	m. sv.	usikker(gr)
	1414 V	m. sv.	gr.		1875 V	m. sv.	usikker(gr)
	2765 V	m. sv.	gr.		1934 V	m. sv.	usikker(gr)
	2817 V	m. sv.	gr.		2183 V	m. sv.	gr.
	617 V	m. sv.	ca. 10m		2662 V	m. sv.	gr.
2600 N	674 V	m. sv.	usikker(gr)		2858 V	m. sv.	gr.
	748 V	m. sv.	gr.		3850 N	1757 V	gr.
	638 V	m. sv.	ca. 10m		1816 V	m. sv.	gr.
	725 V	m. sv.	gr.		1860 V	m. sv.	gr.
	760 V	m. sv.	gr.		1796 V	m. sv.	gr.
	1392 V	m. sv.	gr.		1840 V	m. sv.	gr.

Tabell II. Forts.

Profil	Stasjon	Styrke	Dybde	Profil	Stasjon	Styrke	Dybde
4000 N	1250 V	m. sv.	gr.	5100 N	2485 V	m. sv.	gr. 14m
	1350 V	m. sv.	gr.		2665 V	m. sv.	gr.
	1478 V	m. sv.	gr.		2844 V	m. sv.	ca. 12m
	1536 V	m. sv.	gr.	5200 N	2236 V	m. sv.	gr.
	1644 V	m. sv.	gr.		2301 V	m. sv.	gr.
	1833 V	m. sv.	gr.		2414 V	m. sv.	gr.
	1952 V	m. sv.	gr.		2564 V	m. sv.	gr.
4100 N	1242 V	m. sv.	gr.		2835 V	m. sv.	gr.
	1316 V	m. sv.	gr.		2915 V	m. sv.	usikker(gr)
	1360 V	m. sv.	gr.		2960 V	m. sv.	usikker(gr)
	2240 V	m. sv.	gr.	5300 N	2190 V	m. sv.	ca. 10m
	2386 V	m. sv.	gr.		2900 V	m. sv.	ca. 12m
	2460 V	m. sv.	gr.	5400 N	2188 V	m. sv.	usikker(gr)
	2524 V	m. sv.	gr.		2892 V	m. sv.	ca. 12m
4200 N	2634 V	m. sv.	gr.	5600 N	2153 V	m. sv.	gr.
	2916 V	m. sv.	gr.		2212 V	m. sv.	gr.
4300 N	887 V	m. sv.	gr.		2480 V	m. sv.	usikker(gr)
	837 V	m. sv.	gr.		2524 V	m. sv.	usikker(gr)
	2361 V	m. sv.	gr.		2611 V	m. sv.	usikker(gr)
	2430 V	m. sv.	gr.		2645 V	m. sv.	usikker(gr)
	2515 V	m. sv.	gr.	5700 N	2600 V	m. sv.	ca. 12m
	2816 V	m. sv.	gr.		2684 V	m. sv.	usikker(gr)
	2934 V	m. sv.	gr.	5800 N	2578 V	m. sv.	ca. 15m
4350 N	2916 V	m. sv.	ca. 12m		2672 V	m. sv.	ca. 12m
4400 N	1734 V	m. sv.	gr.	5900 N	2498 V	m. sv.	ca. 15m
	2463 V	m. sv.	gr.		2750 V	m. sv.	ca. 15m
	2564 V	m. sv.	gr.				
4450 N	2361 V	m. sv.	gr.				
	2467 V	m. sv.	gr.				
	2520 V	m. sv.	gr.				
	2638 V	m. sv.	gr.				
	2796 V	m. sv.	gr.				
	2870 V	m. sv.	gr.				
4500 N	2308 V	m. sv.	gr.				
	2358 V	m. sv.	gr.				
	2467 V	m. sv.	ca. 20m				
	2638 V	m. sv.	gr.				
	2876 V	m. sv.	gr.				
4550 N	2468 V	m. sv.	gr.				
4600 N	2236 V	m. sv.	gr.				
4700 N	2310 N	m. sv.	gr.				
4800 N	2287 V	m. sv.	gr.				
	2705 V	m. sv.	gr.				
4900 N	2448 V	m. sv.	gr.				
	2584 V	m. sv.	ca. 15m				
	2763 V	m. sv.					
	2813 V	m. sv.					
5000 N	2216 V	m. sv.	gr.				
	2285 V	m. sv.	gr.				
	2555 V	m. sv.	ca. 14m				
	2663 V	m. sv.	gr.				

ELEKTRISK UNDERSØKELSE

for

ZRØROS KOBBERVERK

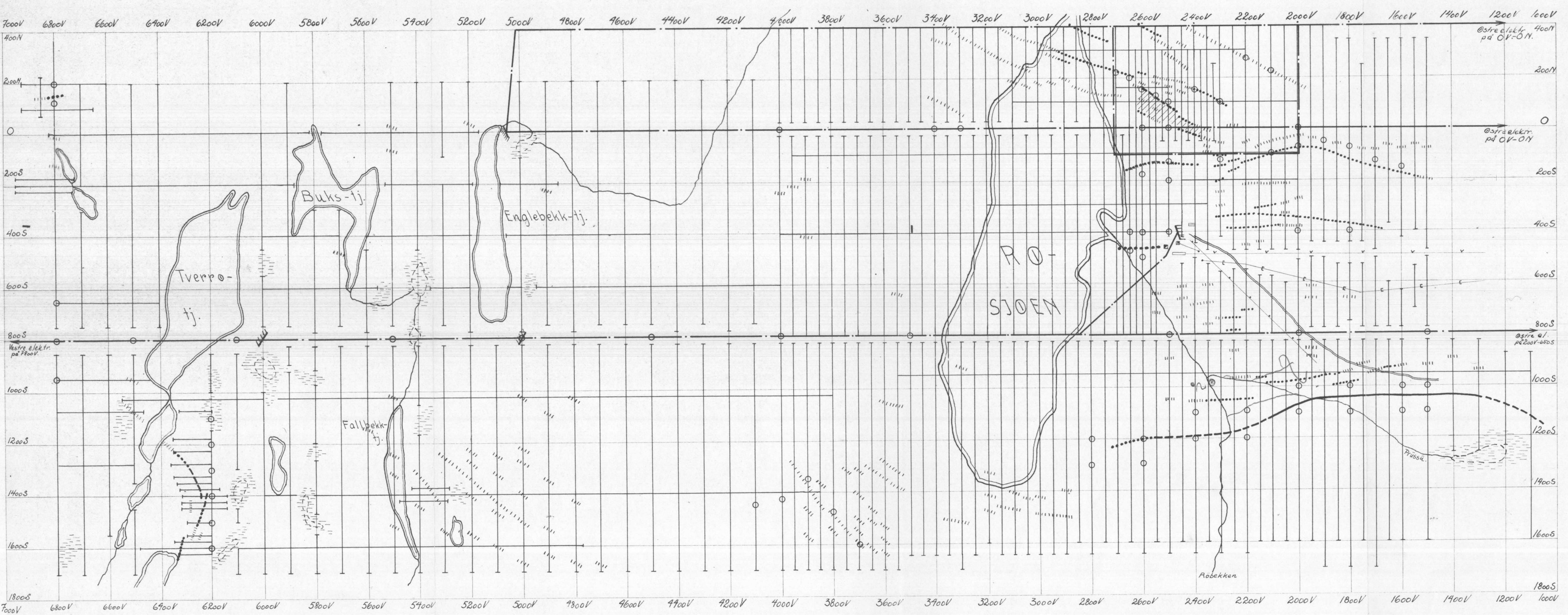
ved

RODALENT GRUBE

mai-juni 1941.

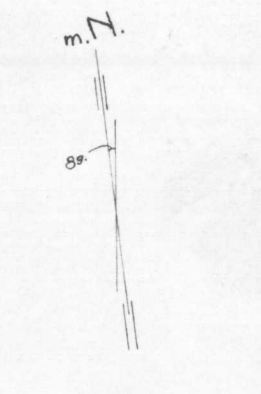
Kart nr. 1.

M: 1/10000



Tegnforklaring:

- m. sterke el.magn.indikasjon
- - - sterke —
- • • svak —
- · · m.svak —
- m. mørkelinjer
- kabellinjer
- fastmerker
- Rødalsskakten
- Tougbane
- ← höisp. kraftlinje
- telefonlinje



GEOFYSISK MALMLETING

TRONDHEIM

G.A. 36

MÅLT
GFS
R.I.

TEGN.
GFS

K.F.R.

TR. HEIM
15/6/41

ELEKTRISK UNDERSØKELSE

for

AAROS KOBBERVERK

ved

% RODALEN GRUBE

mai-juni 1941.

Kart nr. 2

M. 1/2000

Tegnforklaring:

- - - sterkt el-mogn. indikasjon
- • • svak — - -
- · · m.svok — - -
- - - målelinjer
- - - kabellinjer
- fastmerke

m.N.

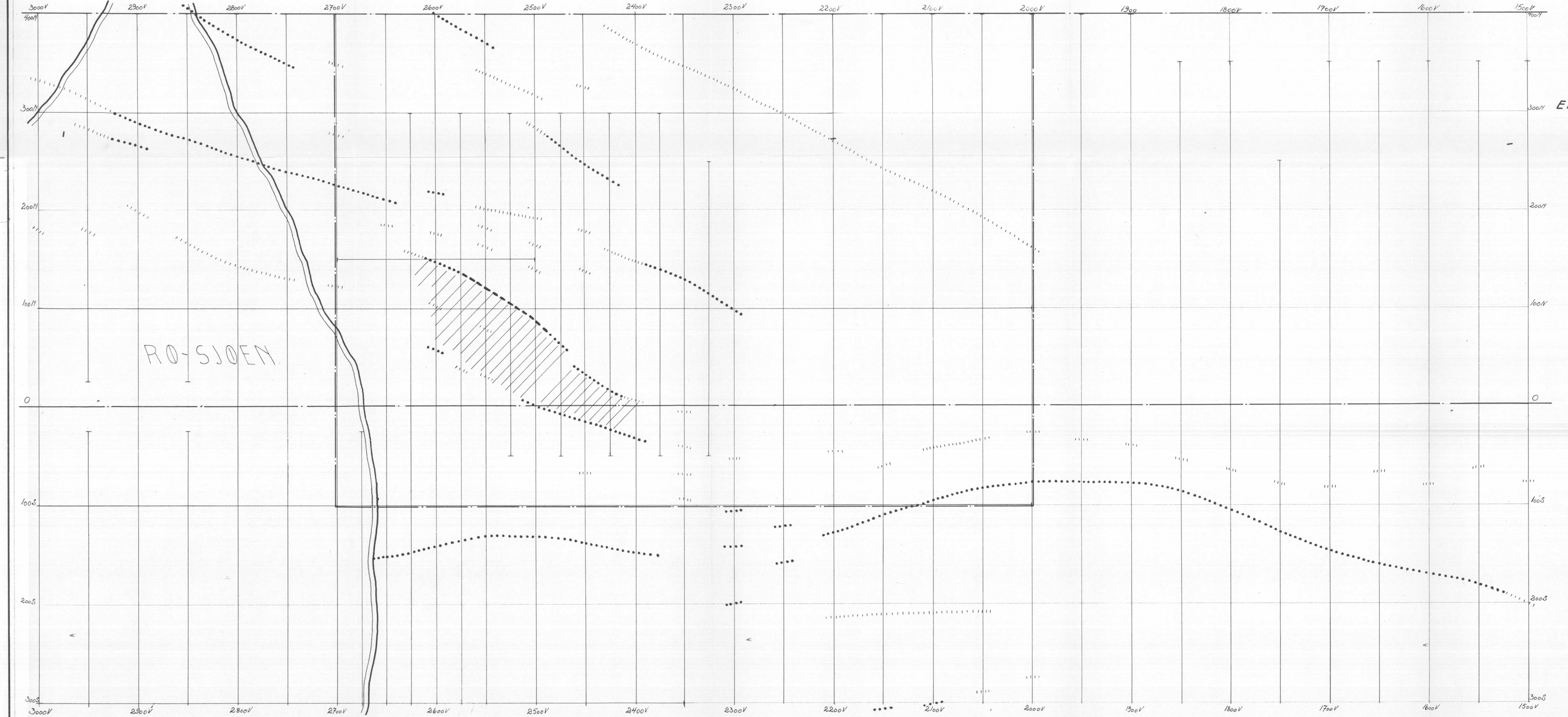
89

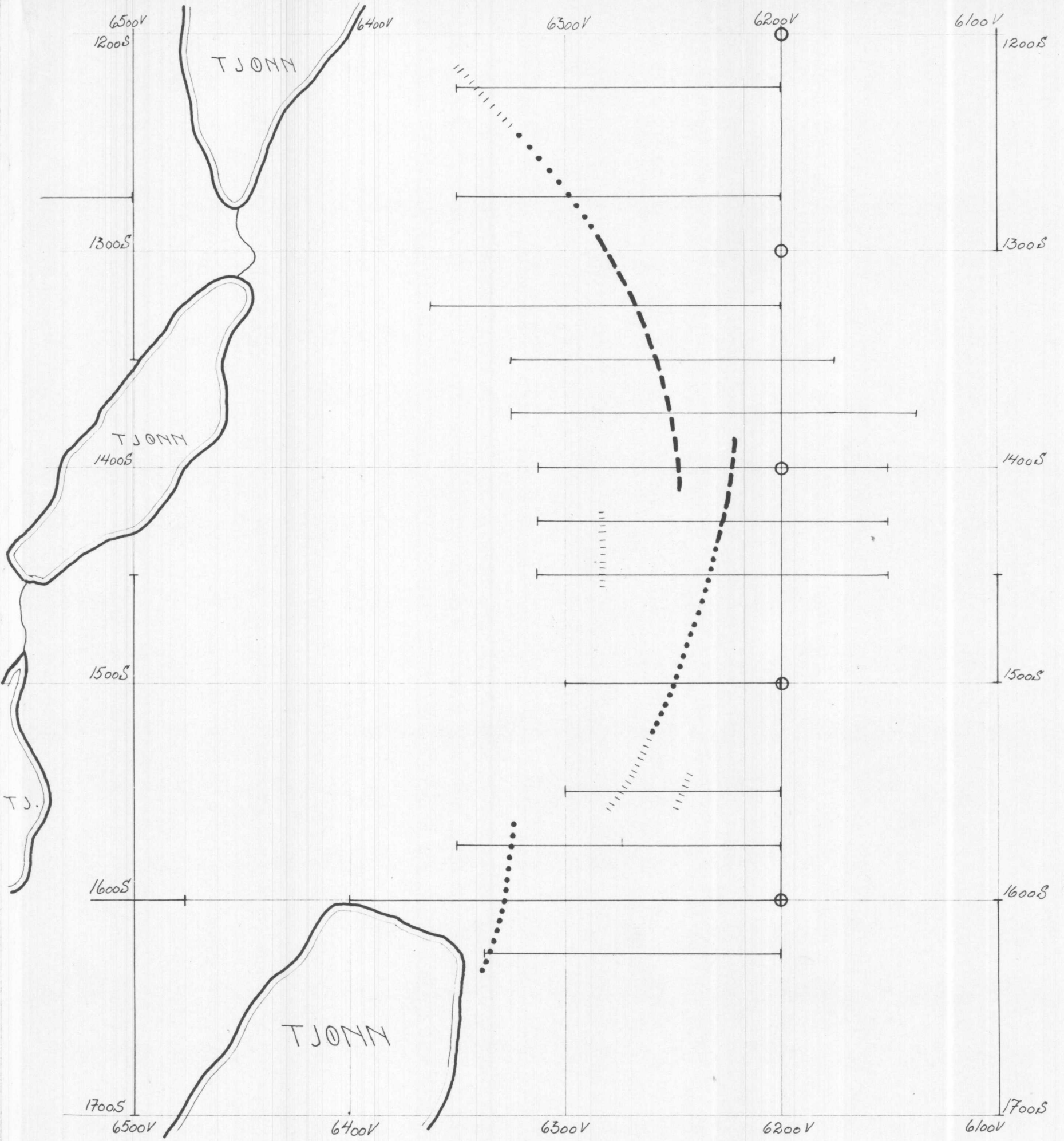
GEOFYSISK MALMLETING

TRONDHEIM

MÅLT TEGN. M.F.R. TA. HEIM.
Læs. B.B. H.Br. 29/11-41.
R.I.

GJ 1/246





ELEKTRISK UNDERSØKELSE
for
ÅRØROS KOBBERVERK
ved
RODALEN GRUBE
juni 1941.

Kart nr. 3.
M: 1/2000

Tegnforklaring:

- — — sterkt el.-magn. indikasjon
- • • svak " "
- · · m.svak " "
- målelinjer
- fastmerke



GEOFYSISK MALMLETING
TRONDHEIM

MÅLT
L.F.S.
P.I.

TEGN.
L.F.S.

K.F.R. TRONDHEIM
H.Br. 6/2. 41.

ELEKTRISK UNDERSØKELSE

for

SØRØROS KOBBERVERK

ved

RODALEN GRUBE

mai - juni 1941

Kart nr. 4.

M: 1/10000

Tegnforklaring:

- m.sterk el-magn.indikasjon.
- - - sterkt
- • • svakt
- ||||| ledende område.
- — taubbane.
- — höisp.kraftlinje
- — telefonlinje

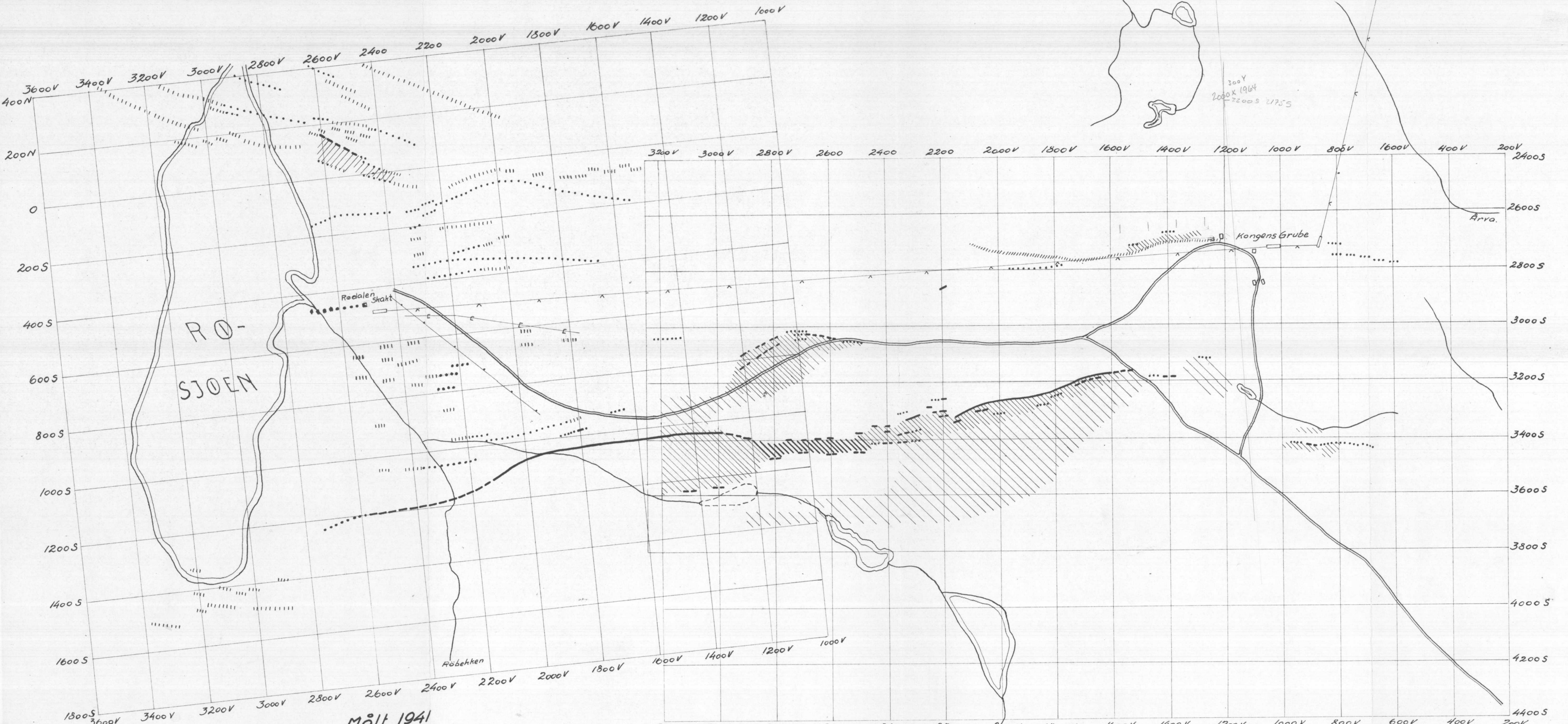
m.N.

G. M. 1941

GEOFYSISK MALMLETING

TRONDHEIM

MÅLT TEGN. K.F.R. TR. HEIM
B.P.S. H.BR.



MAGNETOMETRISK UNDERSØKELSE

ved

RODÅLEN GRUBE

for

%RÖROS KOBBEAVERK

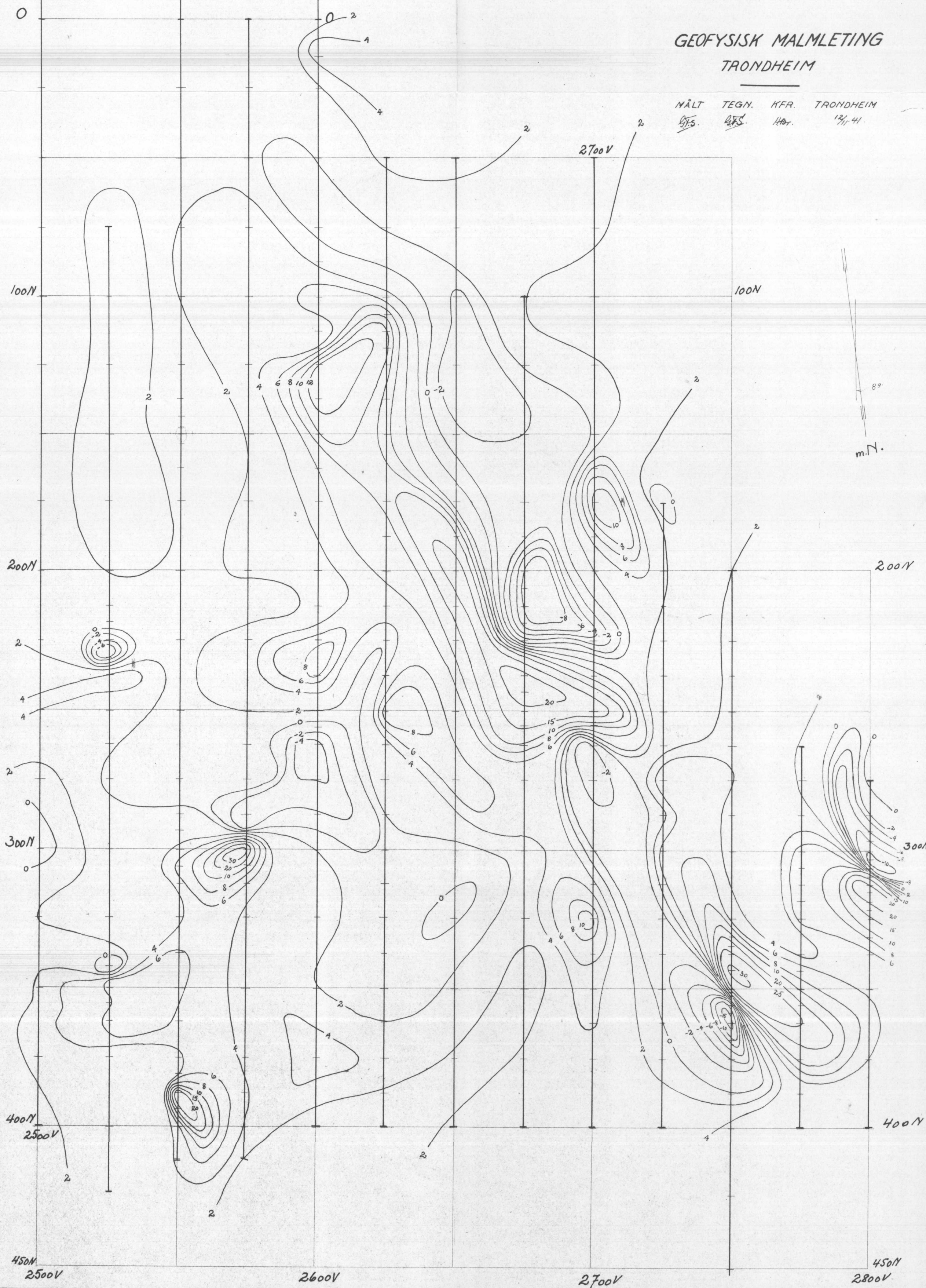
juni 1941

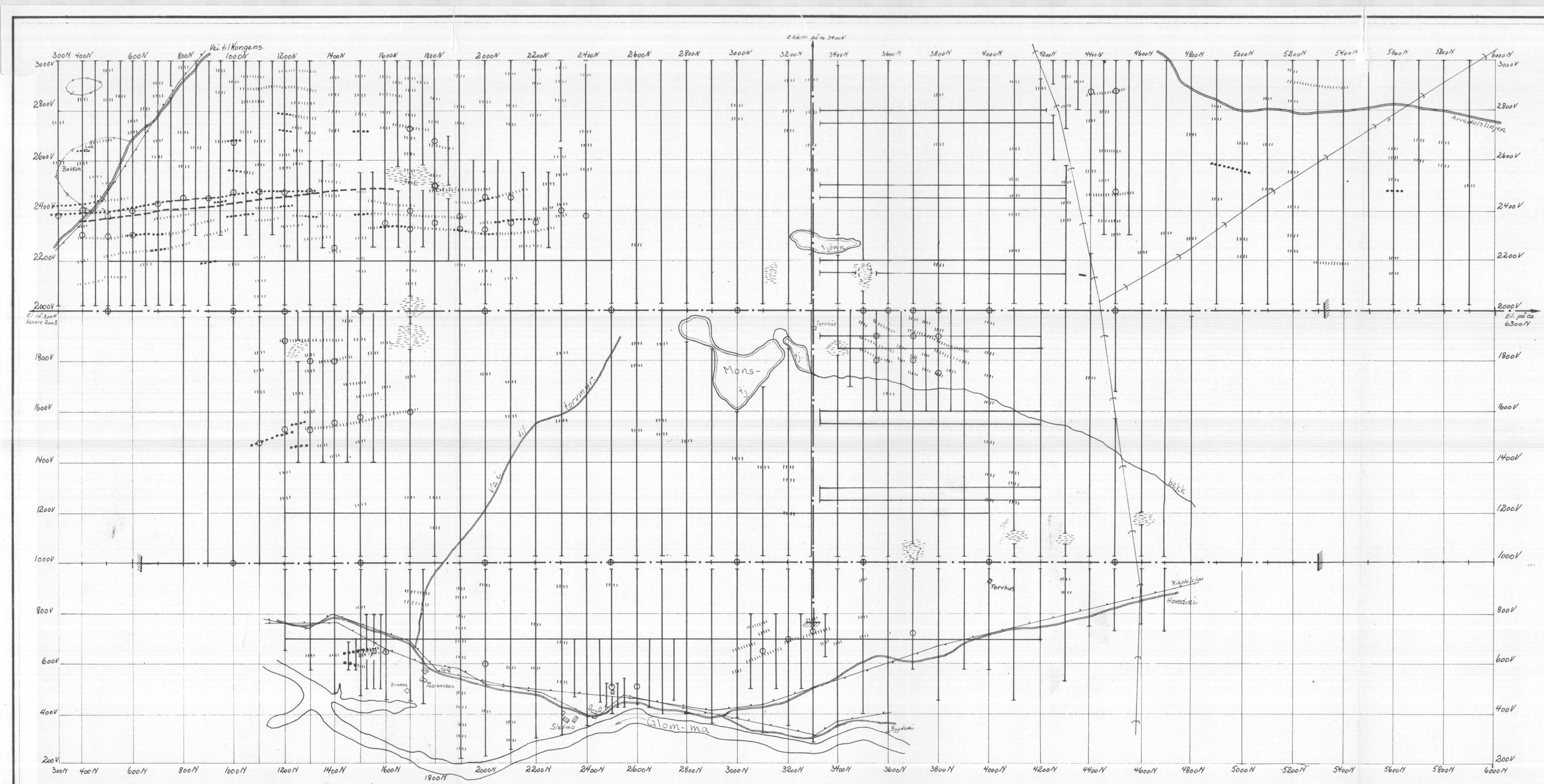
Kart nr. 5.

M: 1/1000

Tegnforklaring:

- målepunkter
- 4 — isoanomalikurver i
vilkårlig skala
- — nordpolsdrag
- — sydpolsdrag





ELEKTRISK UNDERØKELSE
 for
 NOROS KOBBERVERK
 ved
 SLETMO GRUBE
 juli - august 1941.

Kart nr. 6.
 M. 1/10 000

GEOFYSISK MALMLETING

TRONOHEIM

MÅLT
 GFS.
 TEGN.
 GFS.
 H.F.R.
 H.B.R.
 TR. HEIM.
 20/11/41.

G. N. 29

